

Ersatzneubau der 1. Hochbrücke Levensau über den NOK – außergewöhnliche planerische Herausforderungen

Dr.techn. Andreas Meisel



WKC Hamburg GmbH Planungen im Bauwesen

Veritaskai 8

21079 Hamburg

www.wk-consult.com





Veritaskai 8 21079 Hamburg

www.wk-consult.com

WK Consultants

Warnowufer 42

18057 Rostock

- über 150 engagierte Mitarbeiter/Mitarbeiterinnen

- zahlreiche Experten: SFI's, Taucher ...

- Dr. Drude: Prüfsachverständiger KIB EBA













Hochbau

Industriebau

Ingenieurbau/ Infrastruktur Wasserbau/ Ingenieurbau Baumanagement / Bauwerksprüfung

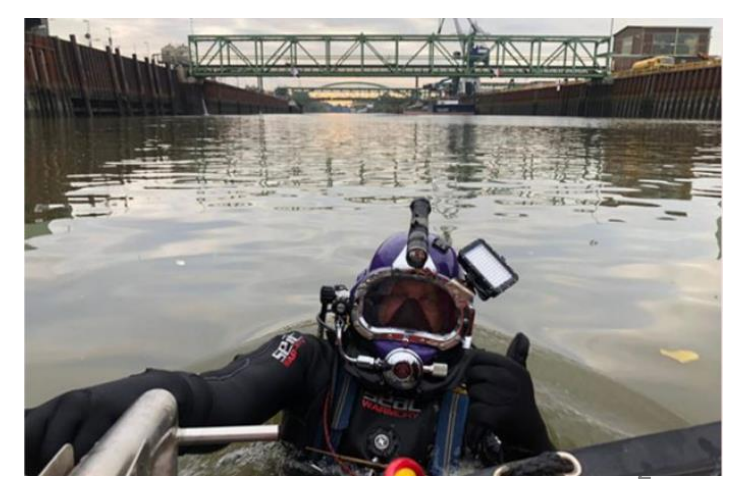
Statische Prüfung

für die Hochbrücke Levensau:

Ingenieurgemeinschaft mit

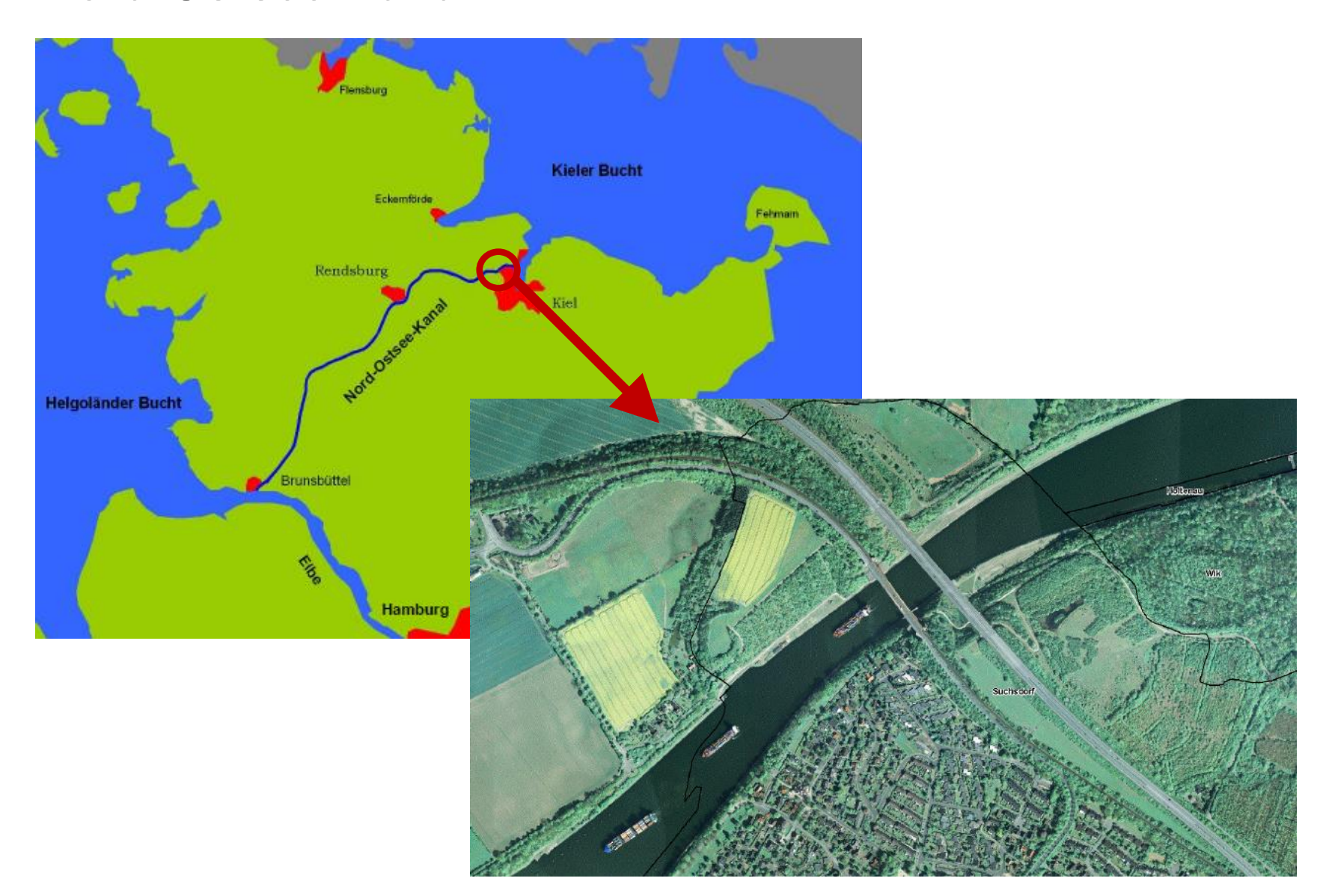








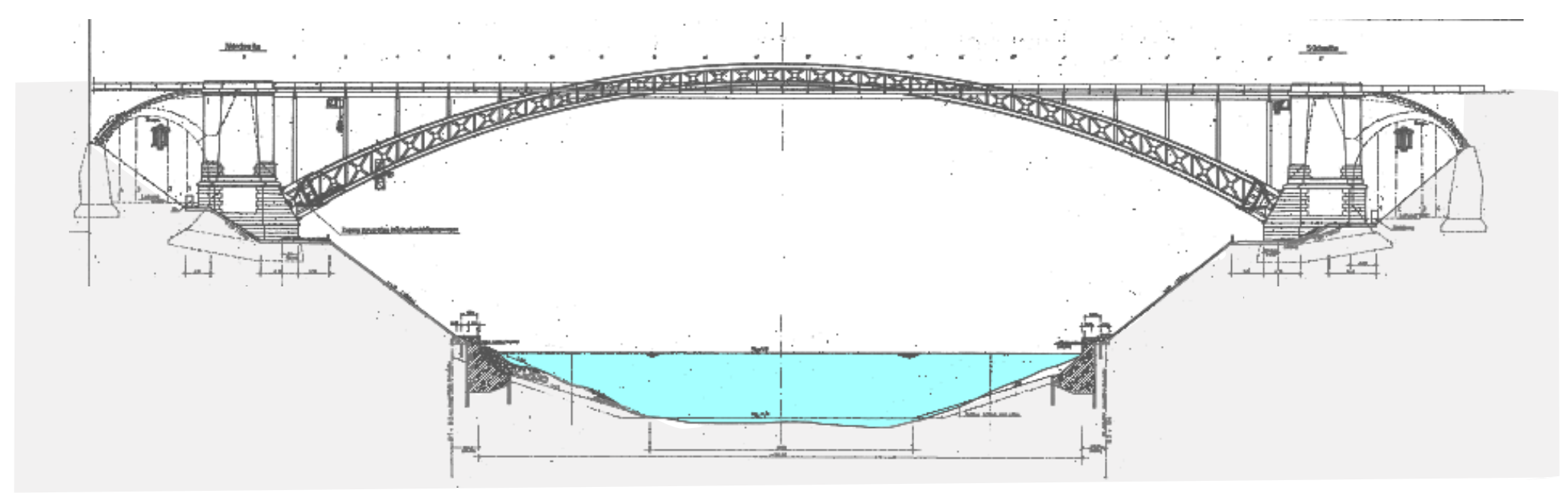
Nord-Ostsee-Kanal



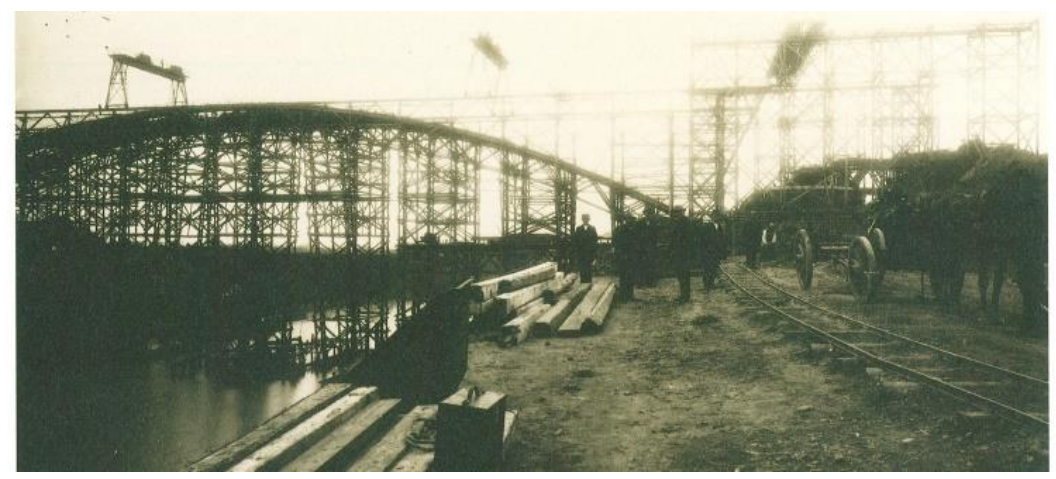
- Eröffnung im Juni 1895 nach ca. 8 Jahren Bauzeit
- Wegersparnis gegenüber Umweg über Skagerrag ca. 800 km
- meistfrequentierte
 Wasserstraße der Welt



Bestandsbrücke (1892 – 1894, inkl. Kanalausbau 1911)



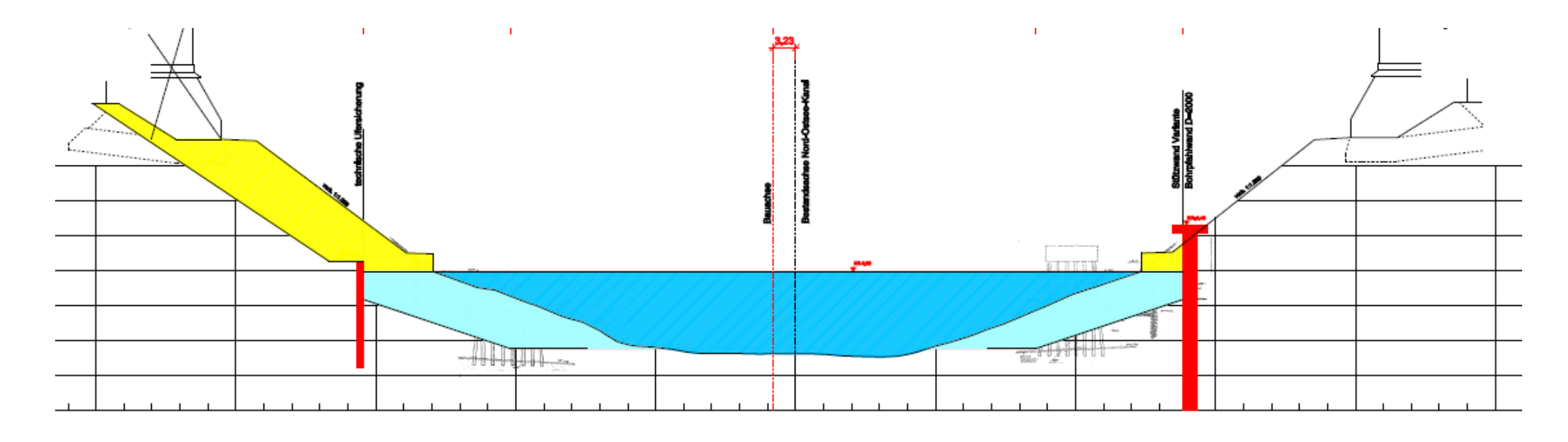
- Fachwerkbogenbrücke
- 163,4 m Stützweite
- eingleisige Bahnstrecke
- zwei Fahrspuren zzgl.Geh- und Radweg





Gründe für den Ersatzneubau

Kanalverbreiterung von 101,2 m auf 117 m



- Vergrößerung des Lichtraumprofils
- Restlebensdauer der Bestandsbrücke endet zeitnah



Randbedingung: Fledermaushabitat

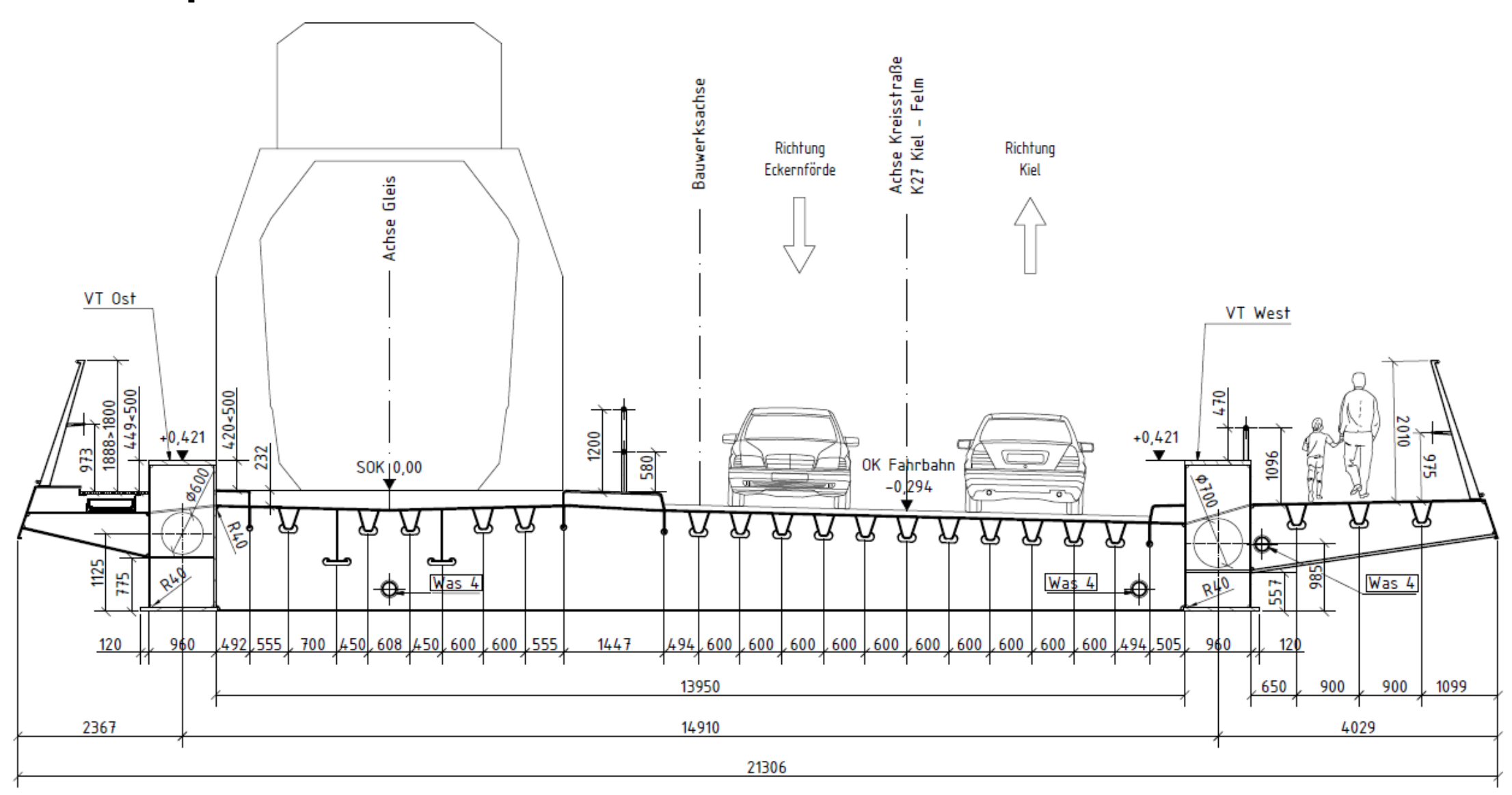


- Winterlager des "großen Abendseglers" und anderer Fledermausarten (streng geschützt)
- Bestandswiderlager Süd muss erhalten werden
 - ... als Naturhabitat



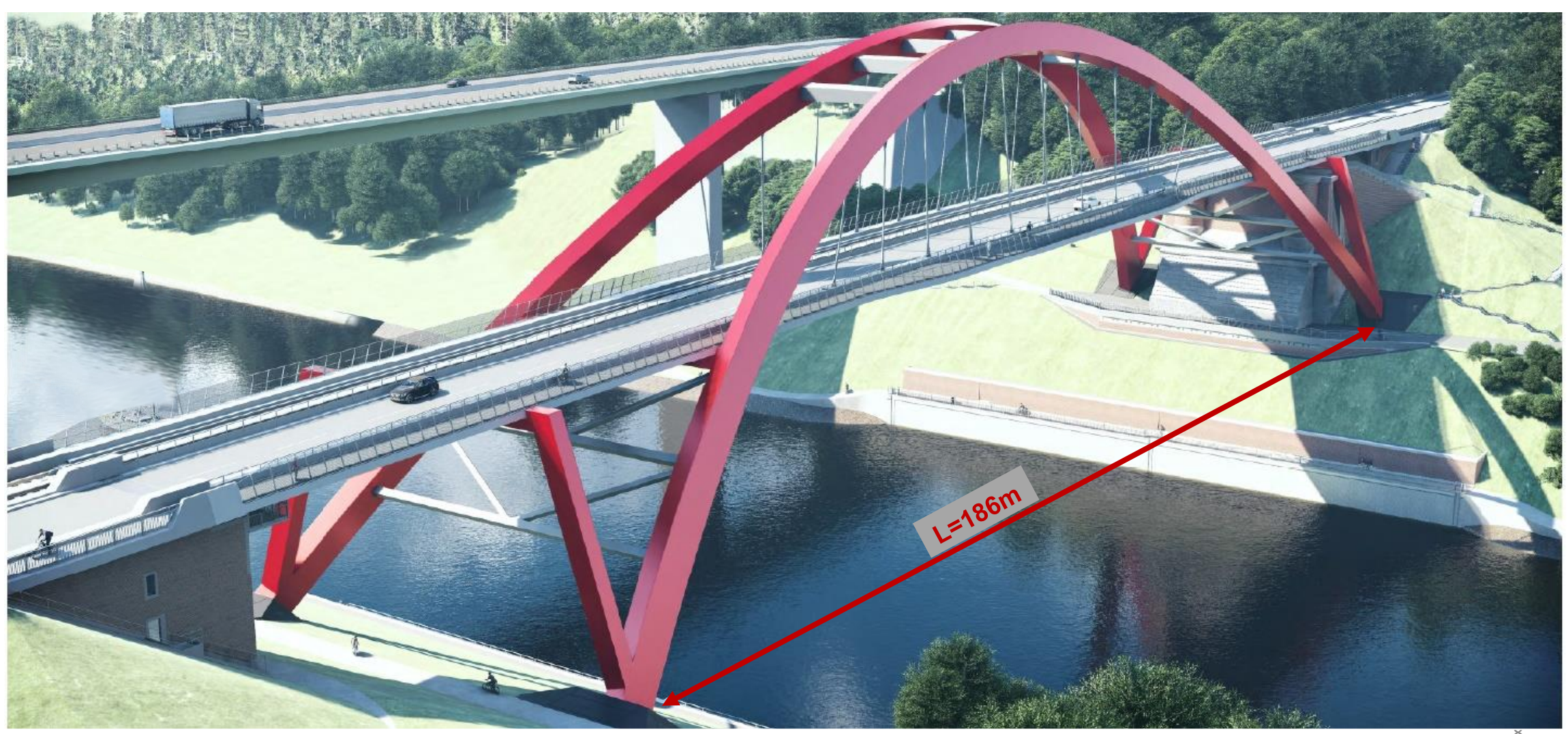


Brückenquerschnitt





Brückenplanung Visualisierung

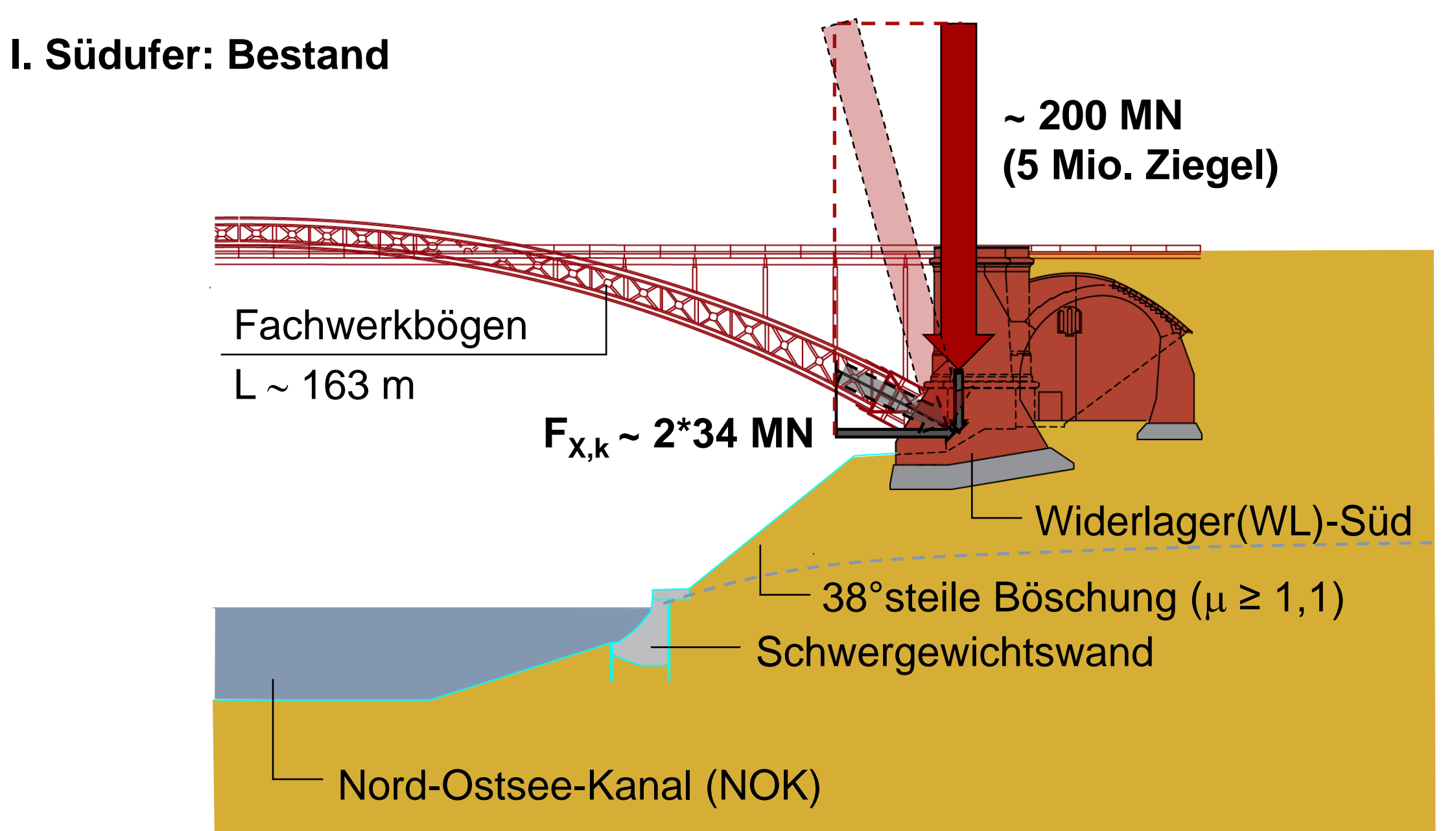




Brückenplanung Visualisierung





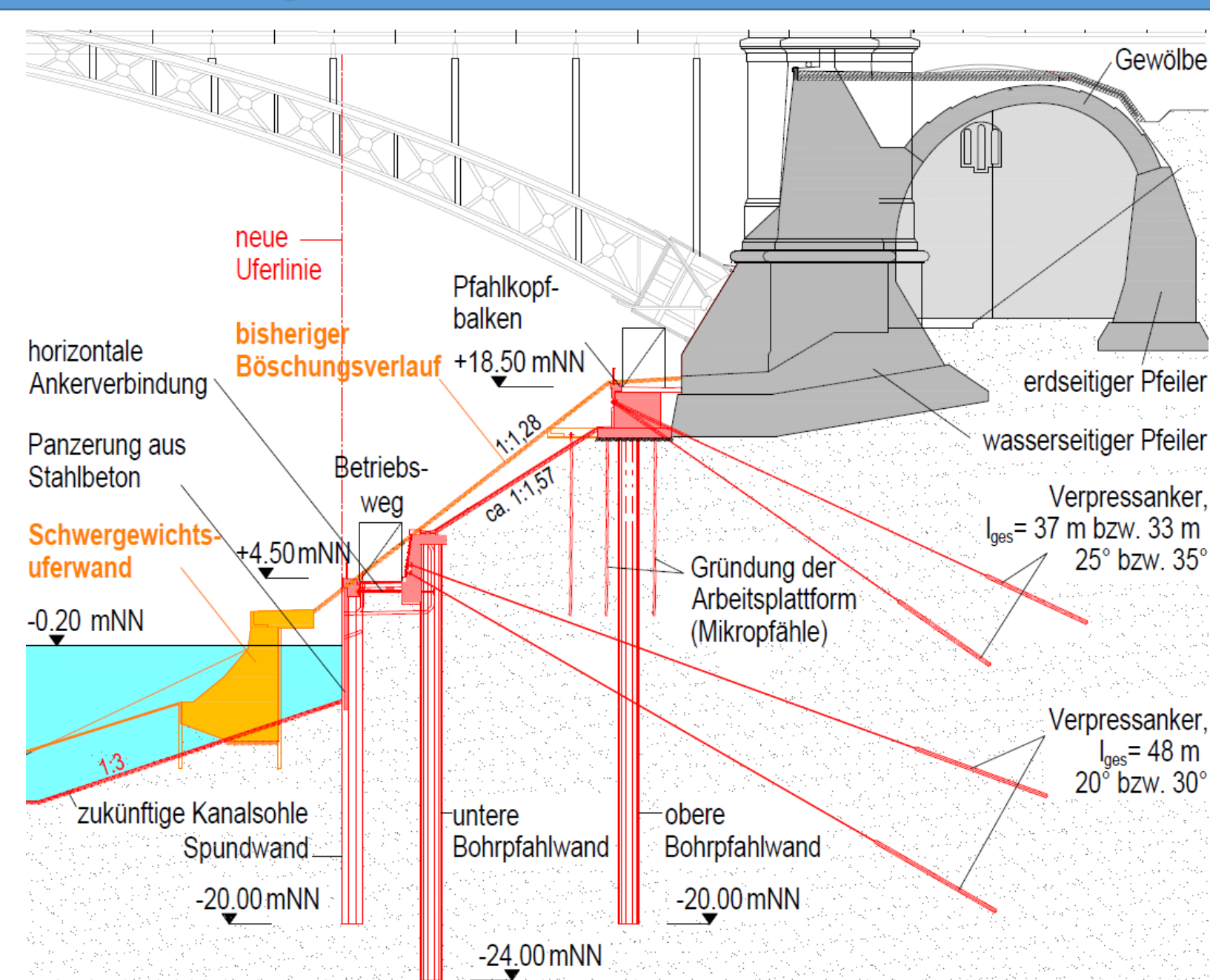


20. Oktober 2023



I. Südufer:

zukünftig



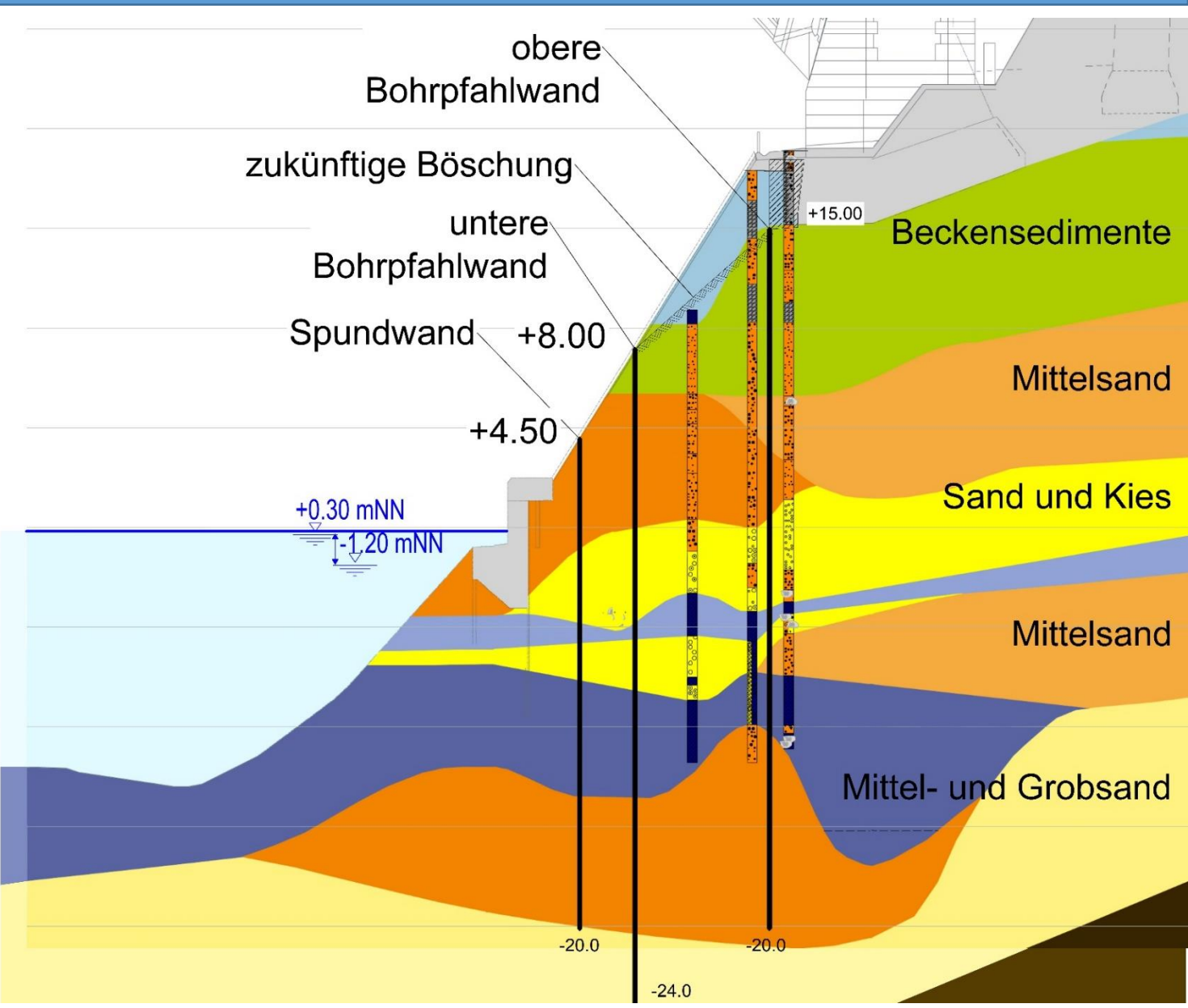
20. Oktober 2023



I. Südufer: Baugrund

- heterogen
- überkonsolidiert

Homogenbereiche	γ/γ' [kN/m³]	φ' [°]	c' [kN/m²]
Beckensedimente	21/ 11	30,5	0
Feinsande/ Sand + Kies	19/ 11	38	0
Oberer Geschiebemergel	20/ 11	32	3
Mittlerer Geschiebemergel	22/ 12	32	3
Unterer Geschiebemergel	22/ 12	32,5	5



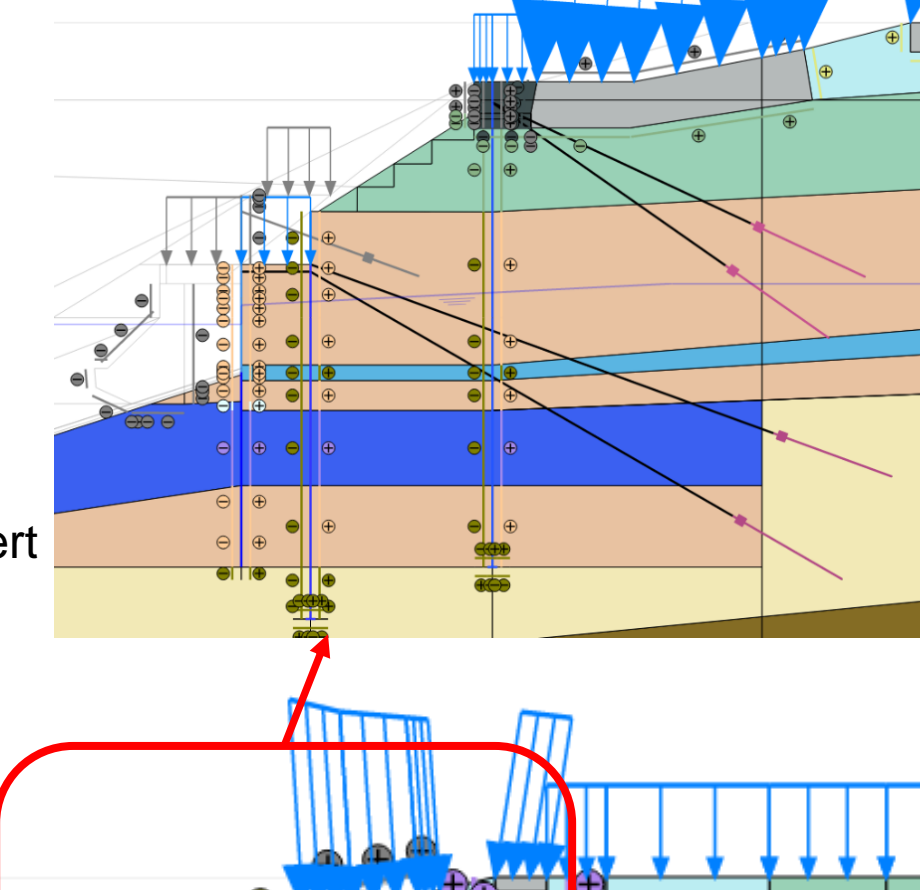


I. Südufer: FE-gestützte Bemessung

- Interaktion der Wände
- Abbildung der komplexen Bauphasen
- realitätsnahe Verformungsprognosen
- Umsetzung in Plaxis 2D, Bodenschichtung und Wände idealisiert

Y

- Materialmodell: Hardening Soil Small Strain (MIN/MAX)

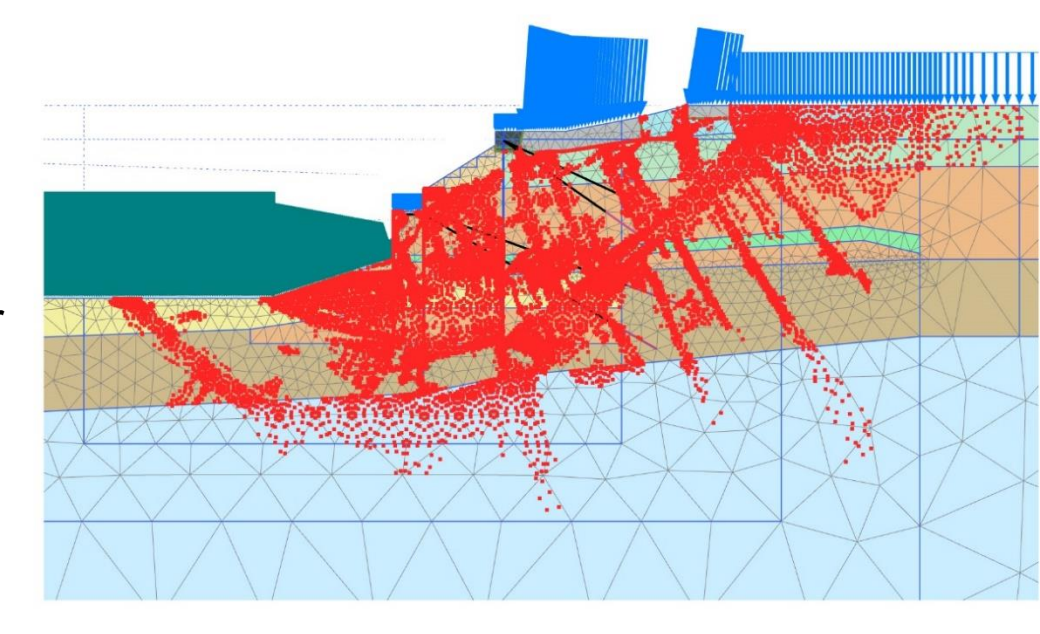




I. Südufer:

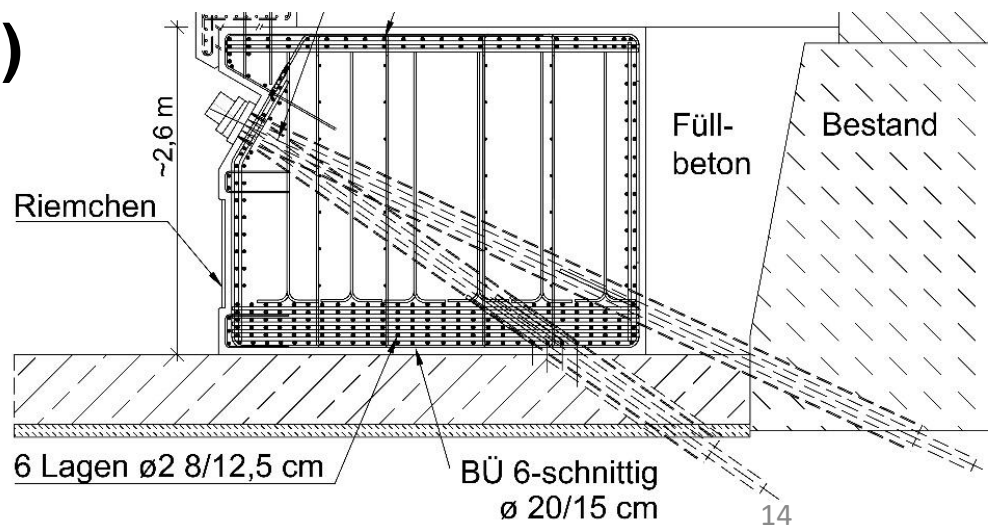
Standsicherheit des Gesamtsystems (GEO-3)

φ-c-Reduktion: Versagen bei einer Reduktion der MIN-Parameter um 1,46



Standsicherheit der Bauteile (GEO-2 UND GEO-3)

Spundwand, Bohrpfähle und Rückverankerungen



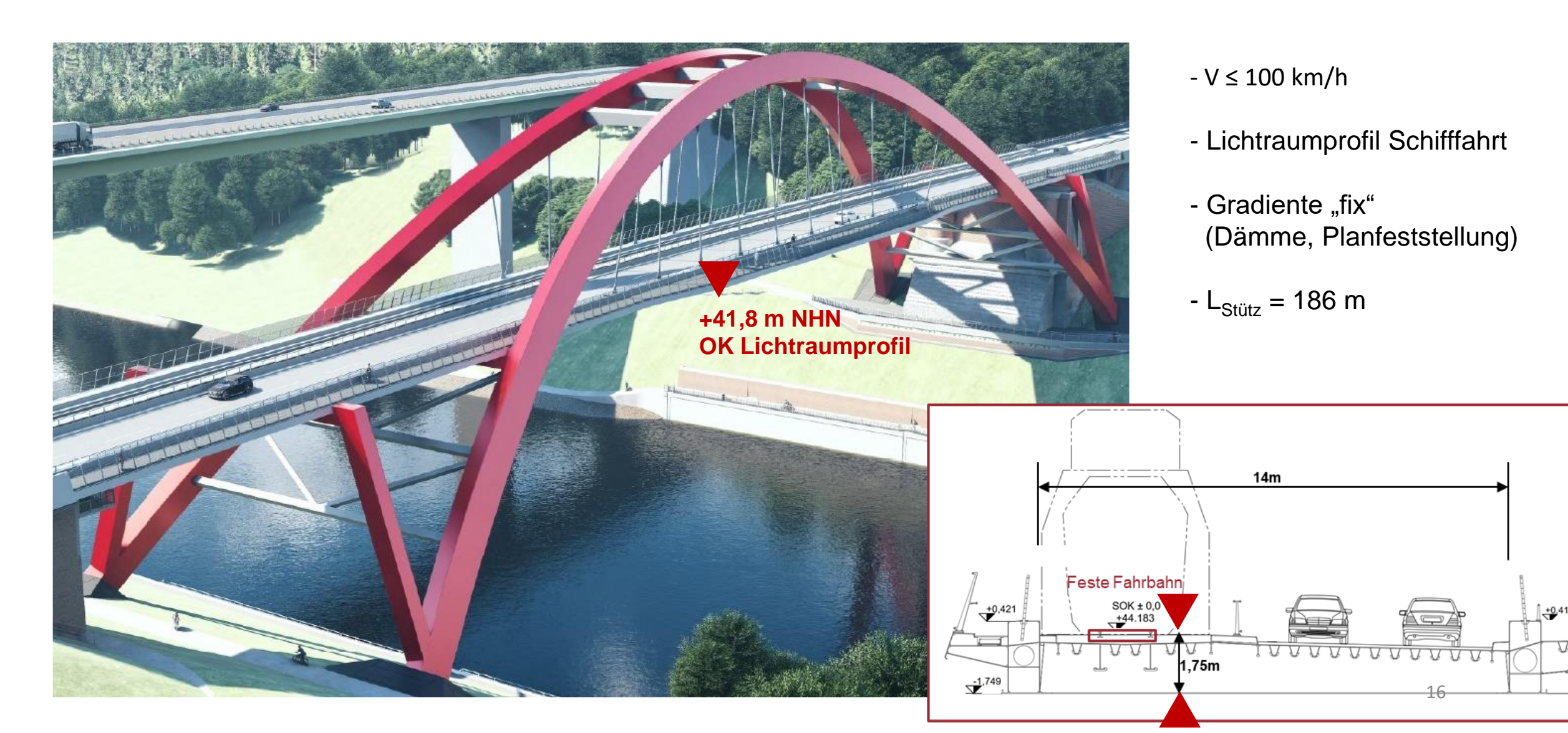


II. Abstimmungen mit der DB: unternehmensinterne Genehmigungen (UiG)

Regelung nach	Inhalt	
Ril 804.5401 (9)	Nachweis der Eignung der Brücke für die Feste Fahrbahn	InGe
Ril 804.5101, 1, (9)	Beurteilung Feste Fahrbahn auf der Brücke (ungeregelte FF)	IB Dannenberg
Ril 820.2040, 6 (2) und 7 (2), (3)	Schienenauszüge, Anordnung und Auflagerung der Schienen	IB Dannenberg
Ril 820.2040	Befestigung der Schiene und Unterguss	IB Dannenberg
Ril 804.5101 1 (6) bzw. 2 (15)	Lagerung mit mehreren Festpunkten	InGe
Ril 836.4106	Übergangsplatten am Übergang WL-Damm	InGe
Ril 804.9050	Hilfsbrückenkette am WL Nord	InGe

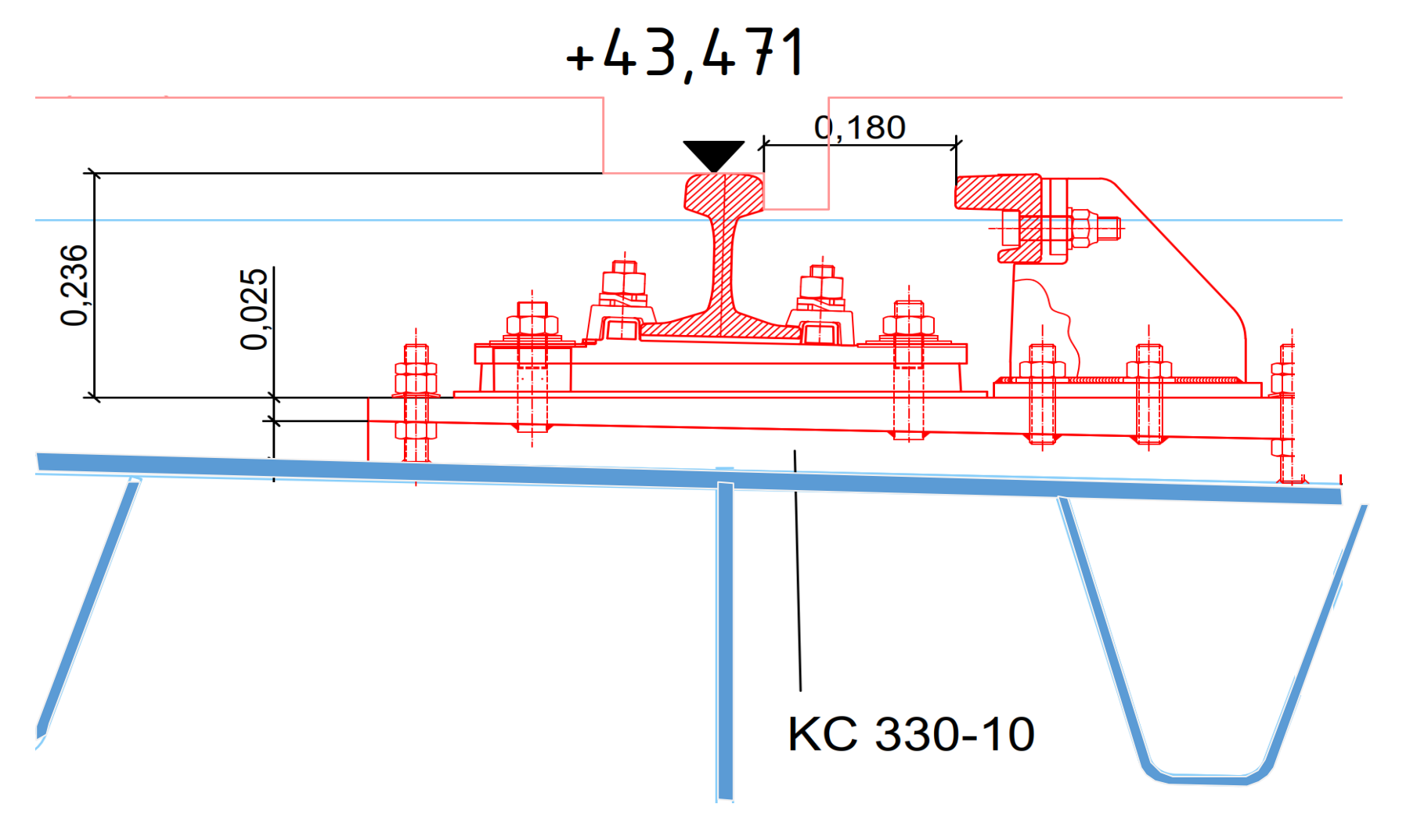


II. Feste Fahrbahn: Notwendigkeit aufgrund geometrischer Randbedingungen





II. Feste Fahrbahn: geplante Schienenbefestigung



auf dem Überbau:

- ohne Gleistragplatte, mit direkter
 Schienenbefestigung auf dem Deckblech
- ungeregelte FF
- Nachweis: mittels
 Laborprüfungen

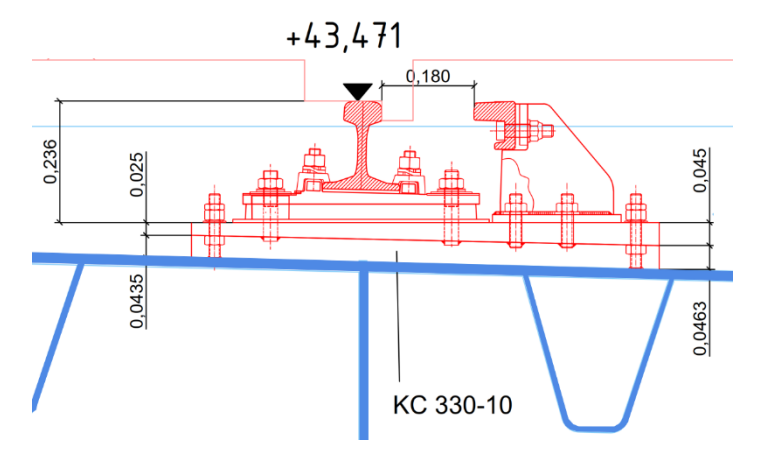
auf den Widerlagern: Gleistragplatte, Typ "Rheda 2000"

Planung:





II. Feste Fahrbahn: Herausforderungen und Umsetzung



- ZIEL: Unversehrtheit des Gleises
- unmittelbare Kopplung der Schiene mit dem Überbau => "ein" statisches System
- hohe Sensibilität gegenüber großen:
- => Endtangentendrehwinkeln
- => Dilatationen
- => Versätzen

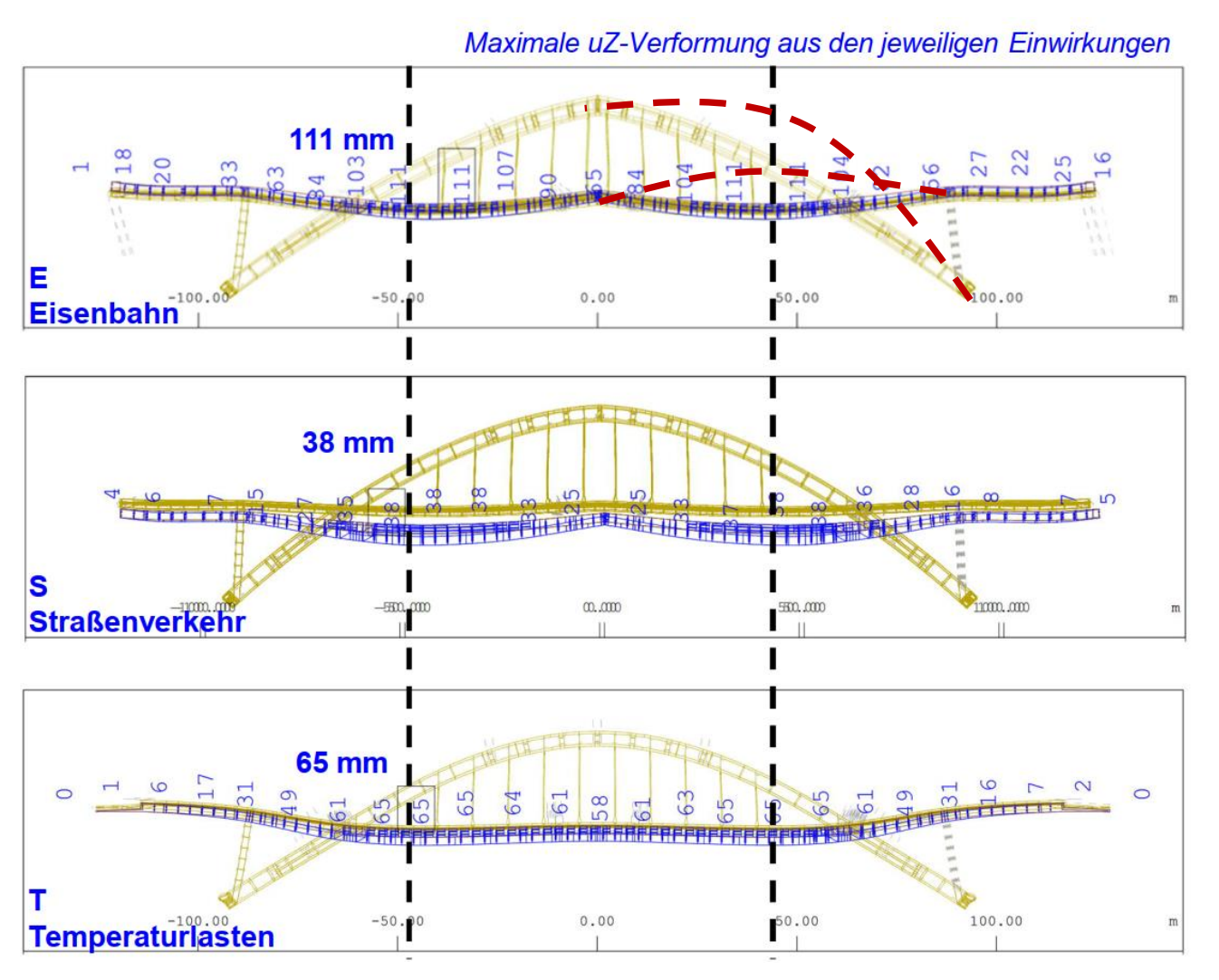


Umsetzung:

- Ausgleichsplatten (System STOG) an den Überbauenden
- Schienenauszüge an den Überbauenden
- abgestimmte Lagerung



II. Feste Fahrbahn: Verformungsverhalten des Überbaus



- Dilatation an den Widerlagern längs:
 u_{x,k} ≤ ca. ±0,44 m => Schienenauszug erforderlich
- Durchbiegungskriterium lt. RiL 804.5402, Abs. 5.1: $u_7 \le L / 2.000$

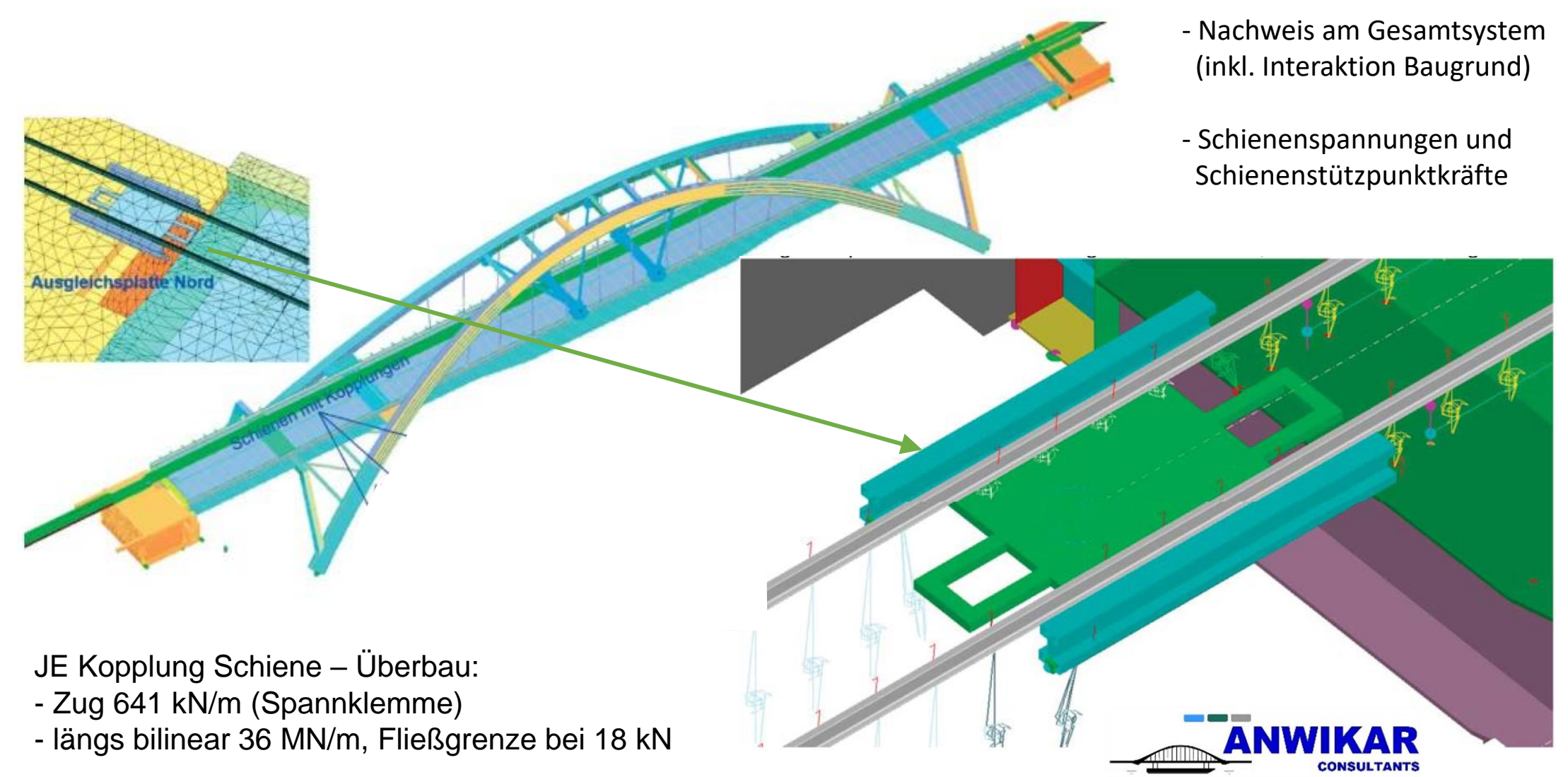
vorhanden:
$$u_Z = L / 1.281$$
 ... NICHT eingehalten (aus GZG $u_Z = 1xE + 1.0xS + 0.6xT$)

- Vertikaler Versatz zw. Schienenstützpunkten It. RiL 804.5402, Abs. 5.1: $u_Z = I \ u_{Z,links} u_{Z,rechts} \ I \le 2 \ mm$... eingehalten
- Lateraler Versatz zw. Schienenstützpunkten
 an der Fuge It. RiL 804.5402, Abs. 5.1:
 u_Z = ca. ±2 mm > ±1 mm ... NICHT eingehalten
- => somit weitere Nachweise erforderlich!



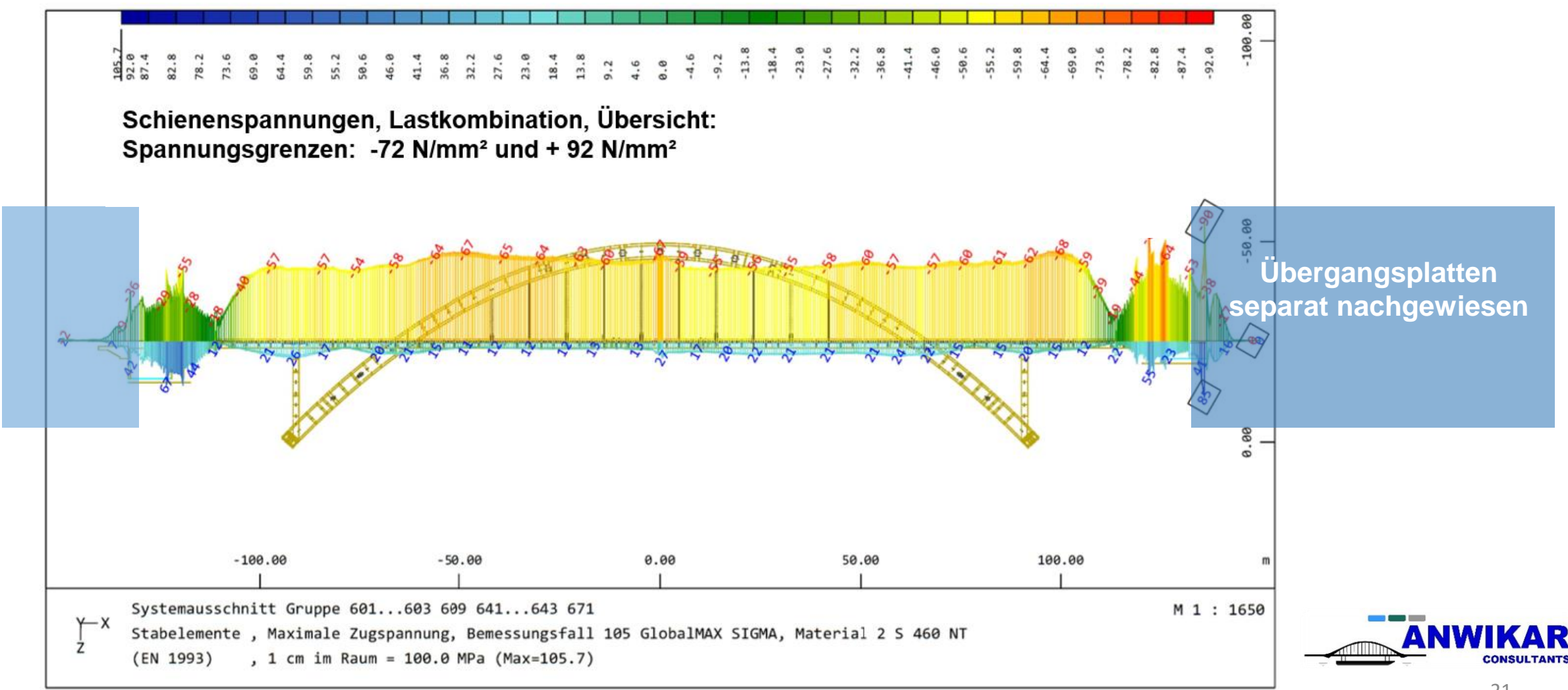


II. Feste Fahrbahn: Nachweisführung



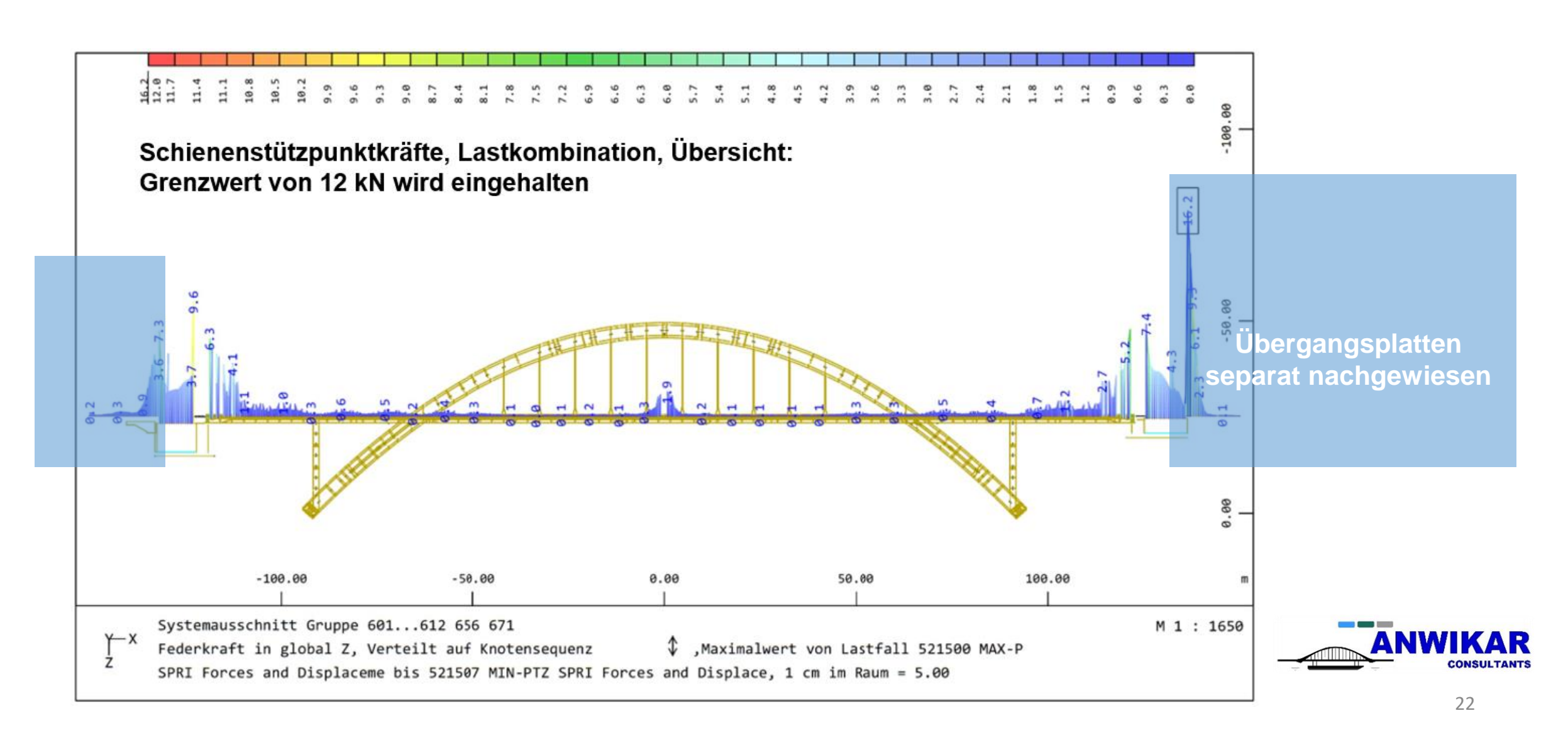


II. Feste Fahrbahn: Schienenspannungsnachweise



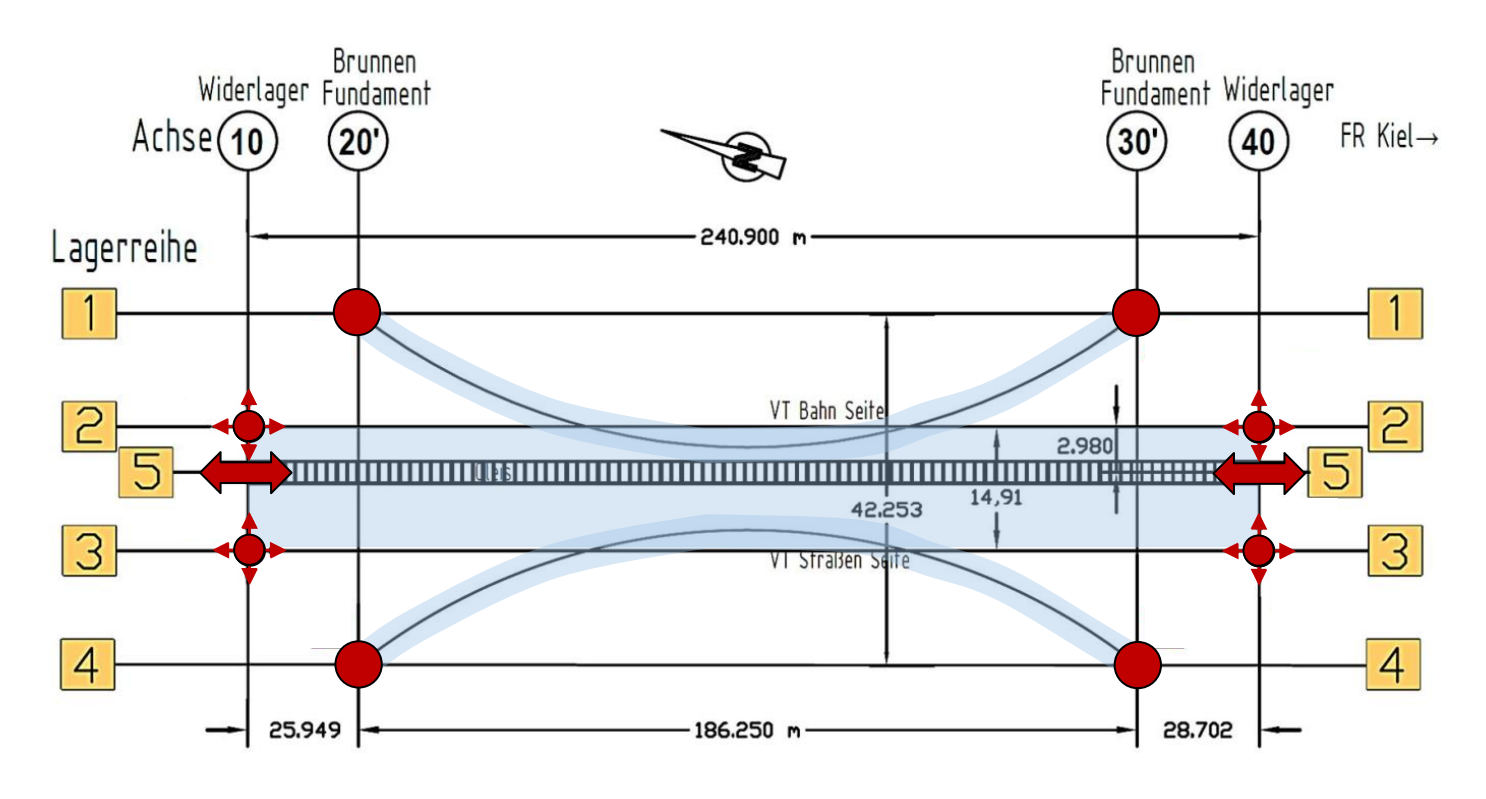


II. Feste Fahrbahn: Schienenstützpunktnachweise





II. Lagerung: Konzept

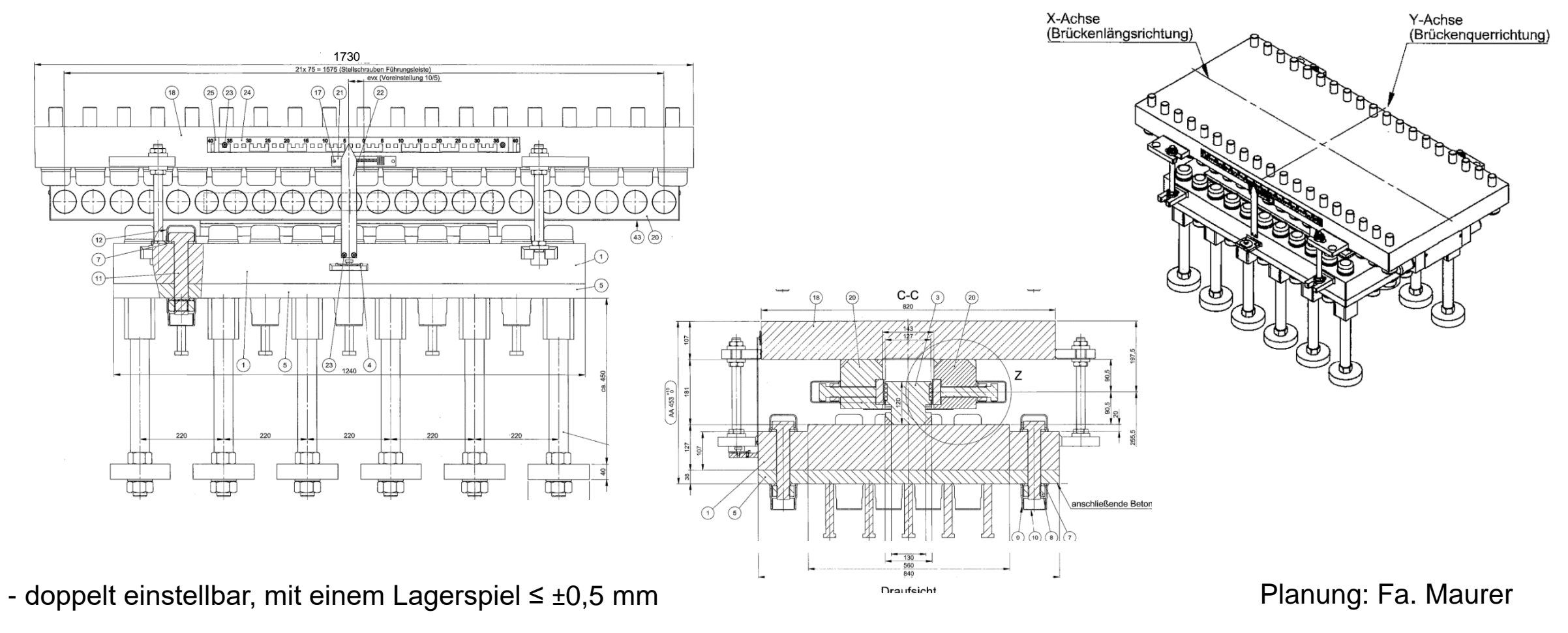


- ZIEL: annähernd zwängungsfreie Lagerung
- weitere Herausforderung:
 heterogener Baugrund
 hohe Kriechverformungen erwartet
- an den Bogenfußpunkten wäre eine statisch bestimmte Lagerung nicht zweckmäßig

- Bogenfußpunkte: unverschiebliche Kalottenlager mit reduziertem Lagerspiel und mit Höhenausgleich
- Widerlager: frei verschiebliche Kalottenlager plus querfeste Lager in Gleisachse



II. Lagerung: querfeste Lager in Gleisachse (H-Kraft-Führungslager)



- Ankerschrauben werden vorgespannt und sind einzeln austauschbar



III. Gründung der Bogenfußpunkte





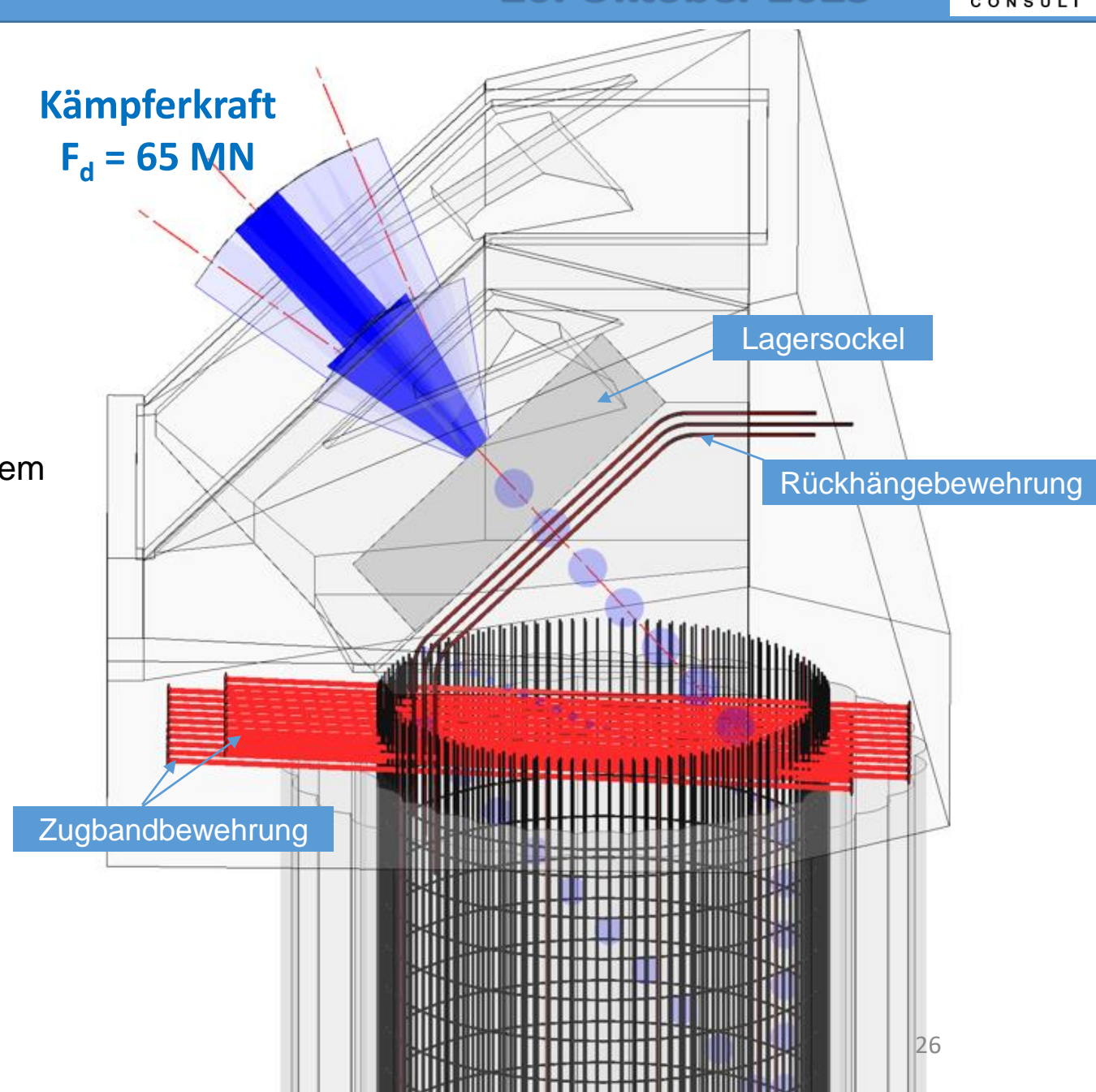
III. Brunnengründung: Bemessungsmodelle

äußere Standsicherheit:

- iterativer Nachweis auf Basis der DIN 4085 in einem 3D-Volumenmodell
- Nachweis auf Basis der modifizierten p-y-Methode
- Nachweis mit Plaxis 3D

innere Standsicherheit:

- Fachwerkmodelle (je nach Lastrichtung)





III. Brunnentöpfe: Bewehrungsführung im BIM-Modell

